

**МОДЕЛИРОВАНИЕ КВ-РАДИОКАНАЛА
НА ОСНОВЕ ВОЛНОВОДНОГО ПОДХОДА****HF RADIO CHANNEL MODELING BY A WAVEGUIDE APPROACH****В.И. Куркин** *Институт солнечно-земной физики СО РАН,
Иркутск, Россия, kurkin@iszf.irk.ru***Н.В. Ильин** *Институт солнечно-земной физики СО РАН,
Иркутск, Россия, ilyin@iszf.irk.ru***М.С. Пензин** *Институт солнечно-земной физики СО РАН,
Иркутск, Россия, penzin.maksim@gmail.com***С.Н. Пономарчук** *Институт солнечно-земной физики СО РАН,
Иркутск, Россия, spon@iszf.irk.ru***В.В. Хахинов** *Институт солнечно-земной физики СО РАН,
Иркутск, Россия, khakhin@iszf.irk.ru***V.I. Kurkin***Institute of Solar-Terrestrial Physics SB RAS,
Irkutsk, Russia, kurkin@iszf.irk.ru***N.V. Ilyin***Institute of Solar-Terrestrial Physics SB RAS,
Irkutsk, Russia, ilyin@iszf.irk.ru***M.S. Penzin***Institute of Solar-Terrestrial Physics SB RAS,
Irkutsk, Russia, penzin.maksim@gmail.com***S.N. Ponomarchuk***Institute of Solar-Terrestrial Physics SB RAS,
Irkutsk, Russia, spon@iszf.irk.ru***V.V. Khakhinov***Institute of Solar-Terrestrial Physics SB RAS,
Irkutsk, Russia, khakhin@iszf.irk.ru*

Аннотация. Изложен модифицированный метод моделирования КВ-радиоканала на основе волноводного подхода, в рамках которого электромагнитное поле излучения внутри волновода Земля—ионосфера представляется в виде ряда по собственным функциям радиальной краевой задачи с импедансными условиями на земной поверхности и условиями излучения на бесконечности. Приведено представление передаточной функции радиоканала в виде ряда произведений функций Грина углового оператора, коэффициентов возбуждения, коэффициентов приема отдельных нормальных волн. Получено решение краевой задачи определения собственных функций и собственных значений радиального оператора, применимое для частотного диапазона ниже критической частоты F-слоя ионосферы. Рассмотрены алгоритмы расчета дистанционно-частотных, частотно-угловых и амплитудных характеристик сигналов на основе анализа и численного суммирования ряда с учетом сильно затухающих нормальных волн.

Ключевые слова: распространение радиоволн, радиоканал, волноводный подход, моделирование, зондирование ионосферы.

Abstract. We present a modified method of HF radio channel modeling based on a waveguide approach. The waveguide approach represents the electromagnetic field of radiation inside the Earth—ionosphere waveguide as an eigenfunction series of a radial boundary problem with impedance conditions on the Earth surface and radiation conditions at infinity. The transfer function of the radio channel is represented as a series of products of angular-operator Green functions, excitation coefficients, and coefficients for receiving individual normal modes. We have obtained a solution of the boundary value problem of determining the eigenfunctions and eigenvalues of the radial operator. The solution can be applied to the frequency range below the ionospheric F-layer critical frequency. We examine algorithms for calculating distance-frequency, frequency-angular, and amplitude characteristics of signals by analyzing and numerically summarizing the series in terms of strongly damped normal modes.

Keywords: radio wave propagation, radio channel, waveguide approach, simulation, ionosphere sounding.

ВВЕДЕНИЕ

Декаметровый диапазон широко используется при создании различных радиотехнических систем благодаря возможности обеспечения условий связи и радиолокации на больших расстояниях, а также проведения диагностики среды в больших пространственных областях. Для функционирования таких систем важной задачей является разработка эффективных расчетных схем моделирования характеристик распространения радиоволн на длинных и сверхдлинных радиотрассах. Методы расчета характеристик КВ-распространения наиболее интен-

сивно развивались в 70–80-х гг. В основном, использовались подходы, основанные на методе геометрической оптики [Казанцев и др., 1967; Лукин, Спиридонов, 1969; Кравцов, Орлов, 1980], позволяющие проводить расчет траекторных характеристик распространения и делать оценку амплитуды сигнала. Были также проведены исследования, направленные на более детальное изучение процесса распространения радиоволн, разработку эффективных методов расчета различных характеристик КВ-сигналов для моделей, близких к реальным условиям распространения. Метод адиабатического инварианта [Гуревич, Цеди-

лина, 1979] и его обобщения на основе асимптотических решений лучевых уравнений [Vaganov et al., 1992] повысили оперативность анализа дальних радиотрасс. Численные методы, основанные на применении канонического оператора Маслова [Ипатов и др., 1990] и теории катастроф [Крюковский и др., 2006], позволили проводить анализ поля в неоднородной магнитоактивной среде с учетом особенностей в области каустик [Ипатов и др., 2014]. Эффекты влияния случайных неоднородностей различных масштабов исследовались на основе метода интерференционного интеграла [Авдеев и др., 1988] и обобщения метода Рытова [Zernov et al., 1992]. Для изучения этих задач использовался также метод параболического уравнения [Черкашин, 1971; Vaganov, Paporov, 1993].

Другим подходом к описанию дальнего распространения КВ-радиоволн является волноводный подход — метод нормальных волн, предложенный П.Е. Краснушкиным в 1947 г. [Краснушкин, 1947], и развитый в 80-х гг. XX в. коллективом исследователей под руководством И.И. Орлова [Куркин и др., 1981]. Метод является одним из основных в диапазоне сверхдлинных волн [Краснушкин, Яблочкин, 1963; Макаров и др., 1993] и в подводной акустике [Алуэлья, Келлер, 1980; Kamel, Felsen, 1982]. В волноводном подходе электромагнитное поле КВ-излучения внутри волновода Земля—ионосфера представляется в виде ряда по собственным функциям радиальной краевой задачи [Куркин и др., 1981]. Для численной реализации метода ряд ограничивается группой нормальных волн, эффективно возбуждаемых излучателем и слабо просачивающихся сквозь ионосферу. В рамках решения единой электродинамической задачи излучения, распространения и приема радиоволн на основе волноводного подхода получены выражения для коэффициентов возбуждения и приема нормальных волн [Куркин, Хахинов, 1984; Хахинов, 2018] для антенн стандартных типов, используемых в КВ-радиосвязи [Айзенберг и др., 1985]. На основе математической схемы анализа и численного суммирования ряда нормальных волн реализованы алгоритмы моделирования основных характеристик КВ-сигнала без усложнения расчетов в области фокусировки сигнала на границе освещенной зоны [Куркин и др., 1982].

Современная КВ-радиосвязь, включая когнитивное радио, предполагает подстройку параметров радиосредств к меняющимся свойствам радиоканала, используя данные активного и пассивного зондирования ионосферы [Anderson, 2019; Ayliffe et al., 2019]. Методы адаптации параметров радиосистем в основном базируются на анализе передаточной функции радиоканала с привлечением моделей излучения, приема и распространения радиоволн в ионосфере. Обработка радиосигналов в приемном устройстве, согласованная с излучаемым сигналом, позволяет устранить искажения принимаемых сигналов, вносимые передаточной функцией реального радиоканала [Ivanov et al., 2019a, b]. Исходя из отношения сигнал/шум с учетом многолучевости регистрируемого сигнала, проводится выбор рабочих радиоча-

стот. В качестве примера построения передаточной функции на основе метода геометрической оптики можно привести динамическую адаптивную структурно-физическую модель ионосферного радиоканала, созданную в Ростовском государственном университете [Барабашов, Вертоградов, 1996].

В общем случае КВ-радиоканал включает комплекс устройств, используемых для передачи информации от источника к получателю, и среду распространения радиоволн. Структурная блок-схема КВ-радиоканала показана на рис. 1. Рассматривается радиоканал с известными техническими и функциональными характеристиками составляющих его частей: приемо-передающих антенно-фидерных систем, волновода Земля—ионосфера. Предполагается, что передающее и приемное устройства согласованы с передающей и приемной антеннами и потеря энергии сигналов в фидерных трактах нет. Ионосфера считается стационарной в течение времени прохождения сигнала от передатчика к приемнику.

В работе представлена комплексная модель КВ-радиоканала, включающая передающее и приемное устройства, ионосферный радиоканал и программный комплекс расчета характеристик радиосигналов на основе метода нормальных волн. В первой части работы приведена схема построения решения уравнений Максвелла для компонент электромагнитного поля в неоднородном волноводе Земля—ионосфера в виде разложения по собственным функциям радиального оператора. Во второй части построены решения радиальной краевой задачи для собственных функций и собственных значений с учетом поглощения поля сигнала в ионосфере и на земной поверхности для декаметрового диапазона частот, включая область значений ниже критической частоты F-слоя ионосферы. Далее приведена схема построения передаточной функции ионосферного радиоканала в виде ряда произведений функций Грина углового оператора, коэффициентов возбуждения, коэффициентов приема отдельных нормальных волн, которые зависят от собственных функций и собственных значений радиальной краевой задачи с учетом сильнозатухающих волноводных мод. Представлена схема обработки квази-монохроматических сигналов и сигналов с линейной частотной модуляцией (ЛЧМ). Рассмотрены алгоритмы численного моделирования дистанционных и амплитудных характеристик КВ-сигналов на основе анализа и численного суммирования ряда нормальных волн. В заключительной части работы приведены результаты численного моделирования характеристик радиосигналов на основе разработанного программного комплекса. Разработанные методы и алгоритмы позволяют оперативно проводить расчеты в рамках двухточечной постановки задачи на КВ-радиотрассах и моделировать пространственные распределения излучения на земной поверхности или его высотные распределения в волноводе Земля—ионосфера на разных расстояниях от излучателя.

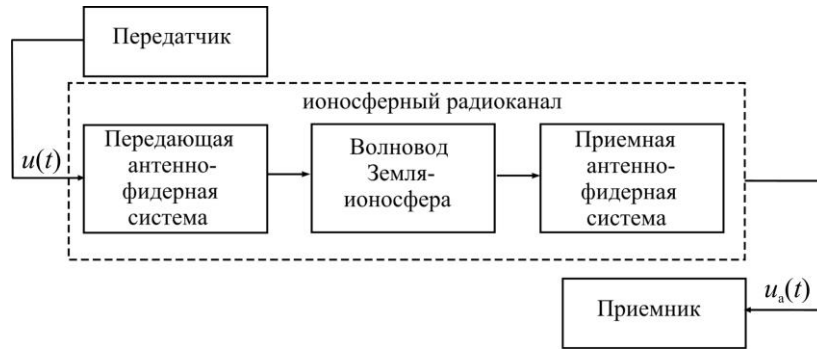


Рис. 1. Структурная блок-схема КВ-радиоканала

МЕТОД НОРМАЛЬНЫХ ВОЛН

В рамках волноводного подхода решается единая электродинамическая задача излучения, распространения и приема радиоволн. Рассмотрим схему построения решения уравнений Максвелла на основе метода нормальных волн в изотропном азимутально-симметричном волноводе Земля—ионосфера. Полярная ось сферической системы координат проходит через излучающую систему. Для фурье-компонент электромагнитного поля с гармонической зависимостью от времени $\exp(-i\omega t)$ уравнения Максвелла можно записать в виде:

$$\text{rot } \vec{B} = -ik\hat{\varepsilon}\vec{E} + \frac{4\pi}{\omega} \vec{j}, \text{rot } \vec{E} = ik\vec{B}. \quad (1)$$

Комплексная диэлектрическая проницаемость ионосферы $\hat{\varepsilon}$ в приближении холодной плазмы имеет вид [Гинзбург, 1967]

$$\hat{\varepsilon}(r, \theta, \omega) = \varepsilon(r, \theta, \omega) + i\varepsilon''(r, \theta, \omega) = 1 - \frac{4\pi e^2 N(r, \theta)}{m\omega[\omega + iv_{\text{eff}}(r, \theta)]}. \quad (2)$$

Внутри Земли $0 < r \leq a$, где a — радиус Земли,

$\hat{\varepsilon} = \hat{\varepsilon}_t = \varepsilon_t + i\frac{4\pi}{\omega}\sigma_t$; в области $a < r < r_n$, где r_n — координата начала ионосферы, $\hat{\varepsilon} = 1$; на бесконечности $\lim_{r \rightarrow \infty} \hat{\varepsilon} = 1$. Граничные условия на поверхности

$r = a$ для компонент поля \vec{E}, \vec{B} имеют вид

$$\vec{B}_t = \vec{B}, \quad E_{t\varphi} = E_\varphi, \quad E_{t\theta} = E_\theta, \quad \hat{\varepsilon}_t E_{tr} = E_r. \quad (3)$$

Индекс t в (3) относится к полю внутри Земли. На бесконечности поля должны удовлетворять условию излучения

$$\lim_{r \rightarrow \infty} \left(\frac{\partial(r\vec{E})}{\partial r} - ik\vec{E} \right) = 0, \quad (4)$$

$$\lim_{r \rightarrow \infty} \left(\frac{\partial(r\vec{B})}{\partial r} - ik\vec{B} \right) = 0.$$

В выражениях (1) и (4) $k = \omega/c$. Если плотность тока в (1) $\vec{j}(r, \theta, \omega)$, то вследствие симметрии задачи относительно поворотов вокруг полярной оси си-

стема уравнений (1) распадается на две группы уравнений: 1) E_r, E_θ, B_φ образуют ТМ-поле; 2) B_r, B_θ, E_φ — ТЕ-поле. При этом компоненты E_r, E_θ выражаются через B_φ , а компоненты B_r, B_θ — через E_φ . Условия сшивки для E_φ, B_φ на поверхности $r = a$ имеют вид

$$E_{t\varphi} = E_\varphi, \quad \frac{\partial}{\partial r}(rE_{t\varphi}) = \frac{\partial}{\partial r}(rE_\varphi),$$

$$B_{t\varphi} = B_\varphi, \quad \frac{1}{\hat{\varepsilon}_t} \frac{\partial}{\partial r}(rB_{t\varphi}) = \frac{\partial}{\partial r}(rB_\varphi). \quad (5)$$

Общее уравнение для определения компонент E_φ, B_φ после перехода к новой переменной $x = -\cos\theta$ и новым функциям $\tilde{E} = rE_\varphi\sqrt{1-x^2}$ и $\tilde{B} = rB_\varphi\sqrt{1-x^2}/\sqrt{\varepsilon}$ можно записать в виде

$$\frac{\partial^2 \Pi}{\partial r^2} + \tilde{k}^2(r, x)\Pi + \frac{1-x^2}{r^2} \left(\frac{\partial^2 \Pi}{\partial x^2} - \xi(r, x)\Pi \right) = \sqrt{1-x^2} \tilde{I}(r, x). \quad (6)$$

При $\Pi = \tilde{E}$:

$$\tilde{k}^2 = k^2 \hat{\varepsilon}, \quad \xi = 0, \quad \tilde{I} = -ikr \frac{4\pi}{c} j_\varphi.$$

При $\Pi = \tilde{B}$

$$\tilde{k}^2 = k^2 \hat{\varepsilon} - \sqrt{\varepsilon} \frac{\partial^2}{\partial r^2} \left(\frac{1}{\sqrt{\varepsilon}} \right),$$

$$\xi = \sqrt{\varepsilon} \frac{\partial^2}{\partial x^2} \left(\frac{1}{\sqrt{\varepsilon}} \right),$$

$$\tilde{I} = -ikr \frac{4\pi}{c} \text{rot}_\varphi \vec{j}_\varphi.$$

Условия (5) примут вид

$$\tilde{E}_t = \tilde{E}, \quad \frac{\partial \tilde{E}_t}{\partial r} = \frac{\partial \tilde{E}}{\partial r}, \quad \sqrt{\varepsilon_t} \tilde{B}_t = \tilde{B},$$

$$\frac{1}{\hat{\varepsilon}_t} \frac{\partial}{\partial r} (\sqrt{\varepsilon_t} \tilde{B}_t) = \frac{\partial \tilde{B}}{\partial r}. \quad (7)$$

На бесконечности функция Π удовлетворяет условию излучения

$$\lim_{r \rightarrow \infty} \left(\frac{\partial \Pi}{\partial r} - ik\Pi \right) = 0. \quad (8)$$

Решения краевых задач (6)–(8) для \tilde{E} и \tilde{B} при каждом значении x будем представлять в виде разложения по собственным функциям радиальных краевых задач для ТМ- и ТЕ-полей, сформулированных в работе [Куркин и др., 1981] для случая сферически-симметричного волновода. Радиальное уравнение имеет вид

$$\frac{\partial^2 R_n}{\partial r^2} + \left(\tilde{k}^2(r, x) - \frac{\mathcal{Q}_n^2(x)}{r^2} \right) R_n = 0. \quad (9)$$

Здесь \mathcal{Q}_n^2 — комплексное собственное значение радиальной задачи. Граничные условия для собственных функций R_n на поверхности $r=a$ и на бесконечности аналогичны (7) и (8), если вместо \tilde{E} и \tilde{B} подставить R_n . Если поставить условие, что функции R_n при $r \rightarrow 0$ удовлетворяют соотношению

$$\lim_{r \rightarrow 0} (R_n / \sqrt{r}) = 0, \quad (10)$$

то для дискретной части спектра краевой задачи радиальные функции удовлетворяют условию нормировки [Куркин и др., 1981]

$$\int_0^\infty \frac{R_n R_m}{r^2} dr = \frac{\delta_{nm}}{a}. \quad (11)$$

Таким образом, решение уравнения (6) будем искать в виде ряда

$$\Pi(r, x) = \sum_n X_n(x) R_n(r, x). \quad (12)$$

Подставим (12) в (6), умножим на R_m и проинтегрируем по r . В результате получим

$$\begin{aligned} X_m'' + \left(\frac{\mathcal{Q}_m^2}{1-x^2} - \xi \right) X_m + \\ + a \sum_n \left[2X_n' \left(R_m, \frac{\partial R_n}{\partial x} \right) + X_n \left(R_m, \frac{\partial^2 R_n}{\partial x^2} \right) \right] = \\ = \frac{I_m}{\sqrt{1-x^2}}, \end{aligned} \quad (13)$$

где введены обозначения

$$I_m(x) = a \int_0^\infty \tilde{I} R_m dr, \quad (R_n, f) = \int_0^\infty f R_n dr.$$

Члены в квадратных скобках в уравнении (13) описывают взаимодействие нормальных волн при распространении в неоднородном волноводе [Попов, Потехин, 1984]. В случае плавных изменений параметров ионосферы вдоль координаты x можно пренебречь взаимодействием нормальных волн, а также членами с ξ в (13) и $\sqrt{\varepsilon} \frac{\partial^2}{\partial r^2} \left(\frac{1}{\sqrt{\varepsilon}} \right)$ в выражении для \tilde{k}^2

в (6). Тогда, введя обозначения $\mathcal{Q}_n^2 = (ka)^2 \tilde{\gamma}_n^2 = h^2 \tilde{\gamma}_n^2$, уравнение (13) можно записать в виде

$$\frac{d^2 X_n}{dx^2} + h^2 q(x) X_n = \frac{I_n}{\sqrt{1-x^2}}, \quad (14)$$

где $q(x) = \frac{\tilde{\gamma}_n^2}{\sqrt{1-x^2}}$. Наличие большого параметра

$h = ka \sim 10^6$ позволяет при его решении использовать асимптотические методы. Коэффициент $q(x)$ имеет две особые точки при $x = \pm 1$. Построение асимптотического решения проводится следующим образом. Первоначально ищутся асимптотические представления для X_n в областях $x \in (-1, 1-\delta)$ и $x \in (-1+\delta, 1)$, $\delta > 0$. Сшивая эти решения внутри области перекрытия $(-1+\delta, 1-\delta)$, получаем решение уравнения (14). Решение в каждой из составляющих областей можно найти методом эталонного уравнения [Федорюк, 1983; Попов, Потехин, 1984]. В качестве примера запишем выражение для $X_n(\theta)$ вне областей излучателя и антиподной точки для точечного вертикального магнитного диполя с распределением плотности тока

$$j_\varphi(r, \theta) = -\frac{m_0 c}{\pi r b^2 (1 - \cos^2 \theta_0)} \delta(r-b) \delta(\theta - \theta_0), \quad (15)$$

где m_0 — полный магнитный момент; b — радиальная координата излучателя; θ_0 — угловой радиус рамки. Выражение для $X_n(\theta)$ имеет вид

$$\begin{aligned} X_n(\theta) = \sqrt{2\pi h} \frac{h m_0 e^{i\pi/4}}{b^2} \times \\ \times \frac{\tilde{\gamma}_n(0)}{\sqrt{\tilde{\gamma}_n(\theta)}} \sqrt{\sin \theta} R_n(b, 0) e^{i h \int_0^\theta \tilde{\gamma}_n(\theta') d\theta'}. \end{aligned} \quad (16)$$

Аналогично, для вертикального электрического диполя с распределением плотности тока

$$j_r(r, \theta) = -\frac{i\omega}{2\pi r^2 \sin \theta} p_0 \delta(r-b) \delta(\theta), \quad (17)$$

где p_0 — полный дипольный момент, выражение для $X_n(\theta)$ имеет вид

$$\begin{aligned} X_n(\theta) = -\sqrt{2\pi h} \frac{h p_0 e^{i\pi/4}}{b^2 \sqrt{\varepsilon(b, 0)}} \times \\ \times \frac{\tilde{\gamma}_n(0)}{\sqrt{\tilde{\gamma}_n(\theta)}} \sqrt{\sin \theta} R_n(b, 0) e^{i h \int_0^\theta \tilde{\gamma}_n(\theta') d\theta'}. \end{aligned} \quad (18)$$

Используя (12), (16) и (18), с учетом сделанных замен переменной и функций получим выражения для компонент электромагнитного поля E_φ, B_φ

$$\begin{aligned} E_\varphi(r, \theta) = \frac{A^m}{\sqrt{\sin \theta}} \times \\ \times \sum_n \frac{\tilde{\gamma}_n(0) R_n(b, 0)}{b^2 r} \left[\frac{R_n(r, \theta)}{\sqrt{\tilde{\gamma}_n(\theta)}} \right] e^{i h \int_0^\theta \tilde{\gamma}_n(\theta') d\theta'}, \end{aligned} \quad (19)$$

$$\begin{aligned} B_\varphi(r, \theta) = \frac{A^e}{\sqrt{\sin \theta}} \times \\ \times \sum_n \frac{\tilde{\gamma}_n(0) R_n(b, 0)}{b^2 r} \times \\ \times \left[-\sqrt{\varepsilon(r, \theta)} \frac{R_n(r, \theta)}{\sqrt{\tilde{\gamma}_n(\theta)}} \right] e^{i h \int_0^\theta \tilde{\gamma}_n(\theta') d\theta'}. \end{aligned} \quad (20)$$

Здесь $A^m = \sqrt{2\pi} h^{3/2} m_0 e^{i\pi/4}$, $A^e = \sqrt{2\pi} \frac{h^{3/2} p_0 e^{i\pi/4}}{\sqrt{\varepsilon(b, 0)}}$.

Другие компоненты электромагнитного поля выражаются через E_φ , B_φ . Подобные выражения для компонент полей приведены в монографии [Куркин и др., 1981], где они были получены обобщением формул для сферически-симметричного волновода Земля—ионосфера в адиабатическом приближении.

РАДИАЛЬНАЯ КРАЕВАЯ ЗАДАЧА

Перепишем радиальное уравнение (9) для фиксированной угловой координаты θ в виде

$$\frac{d^2 R_n}{dy^2} + h^2 Q(y, \xi_n + i\chi_n) R_n = 0, \quad (21)$$

где

$$Q = 1 - \alpha q_1(y) + i\beta q_2(y) - \frac{\xi_n + i\chi_n}{y^2},$$

$$\xi_n + i\chi_n = \tilde{\gamma}_n^2 = (\gamma_n + i\nu_n)^2,$$

$$\alpha = \omega_e^2 / \omega^2, \quad \omega_e^2 = \frac{4\pi e^2 N_{\max}}{m}, \quad \beta = \alpha v_{\text{eff}}(\gamma_n) / \omega,$$

$$q_1(y) = q(y), \quad q_2(y) = q(y) \tilde{q}(y),$$

$q(y)$ — профиль электронной концентрации $N(y)$, нормированный на единицу в точке максимума; $\tilde{q}(y)$ — профиль эффективной частоты соударений с нейтралами v_{eff} , нормированный на единицу в точке начала ионосферы $y = y_H$. В радиальном уравнении (21) сделан переход к безразмерной переменной $y = r/a$. Здесь и далее в данном подразделе не указывается зависимость функции R_n от координаты θ . Граничные условия для радиальной функции R_n на поверхности $r = a$ и при $r \rightarrow 0$ заменим импедансным граничным условием Леонтовича [Леонтович, Фок, 1946] на поверхности Земли, которое имеет вид [Куркин и др., 1981]

$$\left[\frac{dR_n}{dy} + ihS \sqrt{\hat{\varepsilon}_i - \xi_n - i\chi_n} R_n \right]_{y=1} = 0, \quad (22)$$

где $S = 1$ для волн ТЕ-поля, $S = 1/\hat{\varepsilon}_i$ для волн ТМ-поля. Условие излучения на бесконечности

$$\lim_{y \rightarrow \infty} \left(\frac{dR_n}{dy} - ihR_n \right) = 0. \quad (23)$$

Решения радиальной задачи (9) удовлетворяют условию нормировки (11) для функций R_n . Собственные функции R_n радиальной задачи (21)–(23) с импедансными граничными условиями на поверхности Земли таким свойством не обладают. Далее для нахождения нормировочных констант в собственных функциях радиальной задачи будем использовать приближенное условие

$$\int_1^\infty \frac{R_n^2(y)}{y^2} dy \approx 1. \quad (24)$$

В отличие от ранее развитого подхода [Куркин и др., 1981] в коэффициенте радиального уравнения

$Q(y, \xi_n + i\chi_n)$ учтена мнимая часть комплексной диэлектрической проницаемости ионосферной плазмы, а также комплексность собственного значения радиальной задачи.

Рассмотрим схему решения радиальной задачи на примере однослойного волновода Земля — ионосфера. В радиальном уравнении (21) переменную y будем рассматривать как комплексную переменную z . Тогда решение радиального уравнения записывается в виде ВКБ-приближения, так как параметр $h = ka \sim 10^6$. Нули функции $Q(z, \xi_n + i\chi_n)$, $z_{1n} = y_{1n} + i\nu_{1n}$ и $z_{2n} = y_{2n} + i\nu_{2n}$ определяют точки отражения (поворота) [Куркин и др., 1981; Пономарчук и др., 2014]. В зависимости от значения $\tilde{\gamma}_n^2$ нижней точкой отражения является поверхность Земли или точка $z_{1n} = \sqrt{\xi_n + i\chi_n} = \gamma_n + i\nu_n$. В окрестности верхней точки отражения z_{2n} меняет знак $\text{Re}Q(z, \xi_n + i\chi_n)$, поэтому из условия $\text{Re}Q(z, \xi_n + i\chi_n) = 0$ можно приближенно записать выражение на вещественную часть $\xi_n = \gamma_n^2 - \nu_n^2$

$$\xi_n = y^2 [1 - \alpha q_1(y)]. \quad (25)$$

Из уравнения (25) можно определить радиальные координаты точек поворота y_{1n} и y_{2n} , а также граничные значения ξ_n , определяющие группу нормальных волн, формирующих поле в волноводе — минимальный и максимальный номера нормальной волны в ряде. Для оценки вещественной части собственного значения ξ_n выберем модельный профиль электронной концентрации, составленный из двух квазипарабол с точкой сшивки $y_0 = (y_H + y_m)/2$, где y_H — приведенная высота начала ионосферы; y_m — приведенная высота максимума F-слоя ионосферы [Куркин и др., 1981]. Параметры квазипарабол y_H , y_m соответствуют высотам ионосферного слоя 90 и 300 км, критическая частота F-слоя $f_0 = \omega_e/(2\pi)$ равна 6 МГц. На рис. 2 показаны графики $\xi_n = y^2 [1 - \alpha q_1(y)]$ для разных частот зондирования. Точки пересечения черных штриховых линий, соответствующих значениям $\gamma_n^2 - \nu_n^2$, с графиком ξ_n определяют радиальные координаты точек поворота. Синие линии показывают диапазон изменения вещественной части собственного значения $\xi_n \in [\xi_{\min}, \xi_{\max}]$, т. е. группу нормальных волн, слабо просачивающихся сквозь ионосферу. Значения $\xi \in (1, \xi_{\max})$ определяют группу нормальных волн, распространяющихся в надземном волноводе (по терминологии П.Е. Краснушкина [Краснушкин, 1947]). Значения $\xi_n \in (\xi_{\min}, 1)$ определяют группу волн наземного волновода. Красной линией на рис. 2 показана зависимость ξ_n для частоты, равной критической частоте F-слоя $f = f_0$. Для данной частоты $\xi_{\min} = 0$ (красная штриховая линия). В развитом ранее волноводном подходе [Куркин и др., 1981] границы вещественной части собственного значения

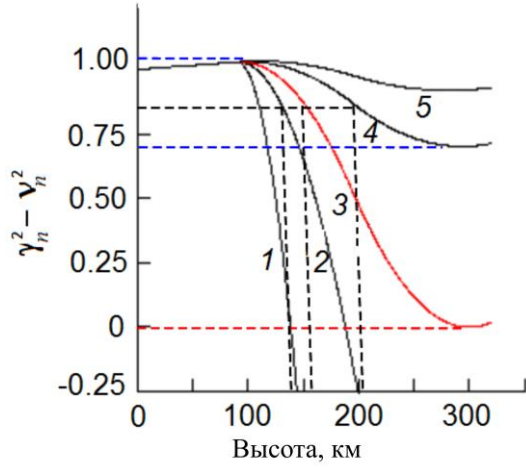


Рис. 2. Высотная зависимость ξ_n для разных частот зондирования 2, 4, 6, 10, 15 МГц (1–5 соответственно)

определялись в пренебрежении мнимой частью комплексной диэлектрической проницаемости $\hat{\epsilon} = [1 - \alpha q_1(y) + i\beta q_2(y)]$ и мнимой частью спектрального параметра ν_n в коэффициенте $Q(y, \xi_n + i\chi_n)$ радиального уравнения (21). Поэтому в алгоритмах расчета характеристик сигналов рабочая частота превышала критическую частоту слоя F2 вдоль трассы распространения, чтобы выполнялось условие $\text{Re}Q(y, \gamma_n) > 0$ [Куркин и др., 1981; Алтынцева и др., 1987]. При учете мнимой части спектрального параметра ν_n ограничение снизу на рабочую частоту по критической частоте слоя F2 снимается, так как решение уравнения (25) для таких частот существует.

Собственные значения $\tilde{\gamma}_n^2 = \xi_n + i\chi_n$ радиальной задачи (21)–(23) в комплексной плоскости (ξ_n, χ_n) расположены в верхней полуплоскости, так как $\xi_n = \gamma_n^2 - \nu_n^2$, $\chi_n = 2\gamma_n\nu_n$. В комплексной плоскости (γ_n, ν_n) значения спектрального параметра $\gamma_n + i\nu_n = \sqrt{\xi_n + i\chi_n}$ расположены в верхнем правом квадранте. В области рабочих частот, меньших критической частоты слоя F2, вещественная часть спектрального параметра γ_n стремится к нулю с ростом номера нормальной волны n , а мнимая часть ν_n резко возрастает. При этом для определенной части спектра, а именно для той, для которой еще имеет смысл учитывать вклад в поле в волноводе Земля — ионосфера, число нормальных волн достаточно велико, порядка нескольких тысяч [Пономарчук и др., 2014]. Для численного моделирования характеристик нормальных волн оценку ξ_{\min} при $f < f_0$ можно получить из условия затухания расходящейся конической нормальной волны по угловой координате θ

$$E \sim e^{-\frac{2\pi d f}{c} \nu_n}, \quad (26)$$

где d — расстояние до излучателя. Если считать, что поле излучения спадает в e раз (показатель экспоненты равен -1) на удалении $d=10$ км, то для частоты $f=3$ МГц получим значение $\nu_n=0.0016$. В данной

области спектра $\gamma_n \ll \nu_n$ и для значения $\xi_n = \gamma_n^2 - \nu_n^2$ можно использовать оценку $\xi_{\min} \simeq -0.000025$.

Решение радиального уравнения (21) вне окрестностей точек поворота z_{1n}, z_{2n} можно записать в виде ВКБ-приближения [Хединг, 1965]

$$R_n(z) = \frac{C_n^\pm}{\sqrt[4]{Q}} \exp\left(\pm ih \int_{z_{1n}}^z \sqrt{Q} dz\right), \quad (27)$$

где C_n^\pm — произвольные константы. В области точек поворота z_{1n}, z_{2n} решение уравнения (21) строится с использованием эталонного уравнения Эйри [Фок, 1970]. Решение радиальной краевой задачи вблизи поверхности Земли в окрестности точки $z_{1n} = \gamma_n + i\nu_n$ выражается в виде линейной комбинации функций Эйри $u(x)$ и $v(x)$ [Фок, 1970] с учетом импедансных граничных условий [Пономарчук и др., 2014]. С использованием асимптотик функций Эйри $u(x)$ и $v(x)$ решение радиальной задачи может быть преобразовано к виду, совпадающему с ВКБ-решением уравнения (21),

$$R_n(z) = \frac{C_{1n}}{Q^{1/4}} \cos\left(h \int_{z_{1n}}^y \sqrt{Q} dy + \Phi_n\right). \quad (28)$$

Здесь Φ_n — добавка к фазе нормальной волны, связанная с коэффициентом отражения волны от поверхности Земли [Куркин и др., 1981; Пономарчук и др., 2014]. В (28) $z_{1n}=1$ при $\gamma_n < 1$ и $z_{1n} = \gamma_n + i\nu_n$ при $\gamma_n > 1$. Нормальные волны, отвечающие значениям $\gamma_n < 1$, описывают распространение электромагнитного поля в наземном волноводе, а волны $\gamma_n > 1$ — в надземном волноводе [Краснушкин, 1947; Куркин и др., 1981].

Для точки поворота z_{2n} в ионосфере решение (21) ищем, используя эталонное уравнение Эйри и выбирая только убывающее решение вглубь ионосферы [Куркин и др., 1981; Пономарчук и др., 2014]. Асимптотика решения в волноводе имеет вид [Фок, 1970]

$$R_n(z) = \frac{C_{2n}}{Q^{1/4}} \sin\left(h \int_y^{z_{2n}} \sqrt{Q} dy + \frac{\pi}{4}\right). \quad (29)$$

Из условия совпадения решений (28) и (29) внутри волновода получаем уравнение на спектр собственных значений $\tilde{\gamma}_n^2 = \xi_n + i\chi_n$ радиальной задачи и связь между константами C_{1n} и C_{2n} :

$$h \int_{z_{1n}}^{z_{2n}} \sqrt{Q(z, \xi_n + i\chi_n, \beta)} dz + \quad (30)$$

$$+ \Phi_n(\xi_n + i\chi_n) = \frac{\pi}{4} + \pi n,$$

$$(-1)^n C_{1n} = C_{2n}. \quad (31)$$

Разделяя уравнение (30) на реальную и мнимую части и пренебрегая малыми величинами второго порядка при разложении \sqrt{Q} и Φ_n по малым вели-

чинам $\beta q_2(y)$ и χ_n , получим уравнения для определения ξ_n и χ_n :

$$h \int_{y_{1n}}^{y_{2n}} \sqrt{Q(y, \xi_n)} dy + \operatorname{Re} \Phi_n(\xi_n) = \frac{\pi}{4} + \pi n, \quad (32)$$

$$\chi_n = \frac{h \int_{y_{1n}}^{y_{2n}} \frac{\beta q_2(y)}{2\sqrt{Q(y, \xi_n)}} dy + \operatorname{Im} \Phi_n(\xi_n)}{h \int_{y_{1n}}^{y_{2n}} \frac{1}{2y^2 \sqrt{Q(y, \xi_n)}} dy - (\operatorname{Re} \Phi_n(\xi_n))'_{\xi}}. \quad (33)$$

Значение константы C_{1n} находится из условия нормировки радиальных функций (24).

МОДЕЛЬ ИОНОСФЕРНОГО РАДИОКАНАЛА

Исходными данными являются характеристики радиоканала и распределение плотности тока $\vec{j}(\vec{r}, \omega)$ в передающей антенне. Значение результирующего тока J_a на выходе приемной антенны $\vec{r} = (r, \theta, \varphi_F)$, нагруженной фидерной линией, определяется выражением [Khakhinov, Kurkin, 2006; Хахинов, 2018]

$$J_a = \sum_n A_n \left(D_n^e P_n^e e^{i h \int_0^\theta \tilde{\gamma}_n^e(\theta') d\theta'} + D_n^m P_n^m e^{i h \int_0^\theta \tilde{\gamma}_n^m(\theta') d\theta'} \right). \quad (34)$$

Здесь $A_n = -i \frac{\sqrt{2\pi k a}}{c \sqrt{\gamma_n^{e,m} \sin \theta}} e^{i \frac{\pi}{4}}$. Эффективность возбуждения нормальных волн характеризуется величинами $D_n^e(\varphi)$ и $D_n^m(\varphi)$. Логично назвать их коэффициентами возбуждения нормальных волн. В рамках метода нормальных волн коэффициенты возбуждения получены с привлечением теоремы взаимности [Куркин, Хахинов, 1984]. Коэффициенты $D_n^{e,m}(\varphi)$ выражаются в виде интегралов по объему $V_1(r_1, \theta_1, \varphi_1)$, занятому источником поля, и являются аналогами диаграмм направленности излучающих антенн.

$$D_n^e(\varphi) = \int_{V_1} \left\{ \frac{r_1}{i k a \sqrt{\varepsilon}} \frac{\partial(\sqrt{\varepsilon} R_n^e(r_1, \theta_1))}{\partial r_1} \times \right. \\ \times [j_\theta \cos(\varphi - \varphi_1) + j_\varphi \sin(\varphi - \varphi_1)] + \\ \left. + j_r \tilde{\gamma}_n^e R_n^e(r_1, \theta_1) \right\} \times \\ \times \frac{\exp(-i h \tilde{\gamma}_n^e \theta_1 \cos(\varphi - \varphi_1))}{r_1^2 \sqrt{\varepsilon}} dV_1, \quad (35)$$

$$D_n^m(\varphi) = \int_{V_1} [j_\varphi \cos(\varphi - \varphi_1) - j_\theta \sin(\varphi - \varphi_1)] \times \\ \times \frac{R_n^m(r_1, \theta_1)}{r_1} \exp(-i h \tilde{\gamma}_n^m \theta_1 \cos(\varphi - \varphi_1)) dV_1. \quad (36)$$

Величины $P_n^{e,m}$ характеризуют значение тока, индуцированного в антенне составляющими ТМ- и ТЕ- полей отдельных нормальных волн, поэтому их можно назвать коэффициентами приема нормальных волн соответствующей поляризации. Выражения для $P_n^{e,m}$ получены в работе [Хахинов, 2018] методом наложения бегущих волн в рамках условий применимости теории длинных линий.

$$P_n^e = \int_l \frac{Y(l)}{W} \left[(\vec{e}_r \vec{e}_l) \frac{h \tilde{\gamma}_n^e}{k r_l} R_n^e(r_l, \theta_l) - \right. \\ \left. - (\vec{e}_\theta \vec{e}_l) \frac{1}{i k \varepsilon} \frac{dR_n^e(r_l, \theta_l)}{dr} \right] \times \quad (37)$$

$$\times e^{-i h \tilde{\gamma}_n^e \theta_l \cos(\varphi_F - \varphi_l)} dl,$$

$$P_n^m = \int_l (\vec{e}_\varphi \vec{e}_l) \frac{Y(l)}{W} R_n^m(r_l, \theta_l) e^{-i h \tilde{\gamma}_n^m \theta_l \cos(\varphi_F - \varphi_l)} dl. \quad (38)$$

Здесь функция $Y(l)$ характеризует распределение тока в антенне, W — волновое сопротивление провода.

Величины $D_n^{e,m}$ и $P_n^{e,m}$ зависят от собственных функций $R_n^{e,m}(r, \theta)$ и собственных значений $(\tilde{\gamma}_n^{e,m})^2 = (\gamma_n^{e,m} + i \nu_n^{e,m})^2$ соответствующих радиальных краевых задач для магнитного ТМ (с индексом e) и электрического ТЕ (с индексом m) полей в пунктах излучения и приема. Выражение (34) записано в адиабатическом приближении в предположении, что параметры ионосферы плавно меняются вдоль угловой координаты θ . В этом приближении номер нормальной волны n является адиабатическим инвариантом, а ее характеристики, определяемые собственными значениями $(\tilde{\gamma}_n^{e,m})^2(\theta)$, зависят от дальности [Куркин и др., 1981].

Отметим также, что выражение для тока в приемной антенне получено в изотропном волноводе Земля—ионосфера без учета магнитного поля, поэтому вид поляризации зондирующей волны не фиксируется. Значение тока в приемной антенне определяется эффективностью возбуждения и приема нормальных волн.

ФОРМА СИГНАЛА

Запишем уровень сигнала U_a на входе приемника в виде

$$U_a = J_a R_a, \quad (39)$$

где R_a — активная составляющая входного сопротивления антенны (приемного устройства). Выражение (34) для тока J_a на выходе приемной антенны можно переписать в виде [Khakhinov, 2006]

$$J_a = i \frac{4\pi}{c} k a \sum_n (G_n^e D_n^e P_n^e + G_n^m D_n^m P_n^m). \quad (40)$$

Здесь функции

$$G_n^{e,m} = -\frac{1}{4} \left(\frac{2}{\pi k a \gamma_n^{e,m} \sin \theta} \right)^{1/2} e^{i h \int_0^\theta \gamma_n^{e,m}(\theta') d\theta' + i \frac{\pi}{4}}. \quad (41)$$

В однородном волноводе выражение для $G_n^{e,m}$ совпадает с выражением для функции Грина углового оператора [Vremmer, 1949]. Таким образом, выражение для тока на выходе приемной антенны в рамках волноводного подхода записано в виде ряда суммы произведений функций Грина угловых операторов, соответствующих разным собственным значениям радиальной задачи, коэффициентов возбуждения, коэффициентов приема отдельных нормальных волн для ТМ- и ТЕ-полей.

Распределение плотности тока $\vec{j}(\vec{r}, \omega)$, входящее в выражения для $D_n^{e,m}(\varphi)$ можно представить в виде

$$\vec{j}(\vec{r}, \omega) = \vec{j}_T(\vec{r}) g(\omega), \quad (42)$$

где $\vec{j}_T(\vec{r})$ — пространственное распределение плотности тока в антенне; $g(\omega)$ — спектр излучаемого сигнала. Вводя новые функции $D_n^{e,m} = g(\omega) \tilde{D}_n^{e,m}$, $\tilde{P}_n^{e,m} = R_a P_n^{e,m}$ и записывая U_a в виде

$$U_a = g(\omega) H(\omega), \quad (43)$$

получим выражение для передаточной функции ионосферного радиоканала

$$H(\omega) = i \frac{4\pi}{c} k a \sum_n (G_n^e \tilde{D}_n^e \tilde{P}_n^e + G_n^m \tilde{D}_n^m \tilde{P}_n^m). \quad (44)$$

Переход к временной зависимости уровня сигнала на входе приемника осуществляется посредством преобразования Фурье:

$$u_a(t) = \int_{-\infty}^{\infty} g(\omega) H(\omega) e^{-i\omega t} d\omega. \quad (45)$$

Предварительно запишем выражение для передаточной функции $H(\omega)$ в виде

$$H(\omega) = \sum_n H_n(\omega) = \sum_n a_n(\vec{r}, \omega) e^{i\Psi_n(\theta, \omega)}. \quad (46)$$

Здесь

$$a_n(\vec{r}, \omega) = A_n \left[\tilde{D}_n^e(\varphi) \tilde{P}_n^e(\varphi_F) + \tilde{D}_n^m(\varphi) \tilde{P}_n^m(\varphi_F) \right] \times e^{-h \int_0^\theta \left[\left(\gamma_n^e + \gamma_n^m \right) / 2 \right] d\theta'}$$

— амплитудный множитель, $\Psi_n(\theta, \omega) = h \int_0^\theta \gamma_n d\theta'$ — фаза нормальной волны. Для случая излучения квазимонохроматического импульса

$$g(t) = g_0(t) \cos(\omega_0 t + \delta), \quad (47)$$

где $g_0(t)$ — огибающая сигнала, выражение для $u_a(t)$ можно записать в виде [Куркин и др., 1981]

$$u_a(t) = \text{Re} \sum_n g_0(t - \tau_n(\theta)) \times H_n(\omega_0) e^{-i\omega_0 t - i\delta}, \quad (48)$$

где $\tau_n(\theta)$ — групповая задержка нормальной волны.

Другим типом модуляции, используемым в ионозондах и радиотехнических системах, является линейная частотная модуляция сигнала [Иванов и др., 2003]:

$$g(t) = \cos(\omega_0 t + \eta t^2 / 2), \quad (49)$$

где η — скорость девиации частоты. Выражение для регистрируемого спектра ЛЧМ-сигнала в аналоговых ионозондах можно записать в виде [Davuydenko et al., 2002]

$$S_k(s) = \frac{\pi}{2} \sum_n \hat{A}(s - \tau_n) H_n(\omega_k). \quad (50)$$

Здесь $s = \Omega / \eta$, где Ω — переменная анализатора спектра; $\hat{A}(s)$ — спектр временного окна; $\omega_k = \omega_0 + \eta t_k$, где t_k — центр временной выборки. Результат обработки отдельной временной выборки принятого ЛЧМ-сигнала эквивалентен зондированию радиоканала комплексным узкополосным импульсным сигналом. Характеристики данного сигнала определяются временным окном, выделяющим выборку.

В цифровом ЛЧМ-ионозонде ИСЗФ СО РАН [Подлесный и др., 2013] регистрация сигналов проводится по схеме восстановления передаточной функции радиоканала [Подлесный и др., 2014]. Выражение для результата обработки принятого сигнала имеет вид

$$u_a(t) = H(\omega_0 + \eta t). \quad (51)$$

Для построения ионограммы цифровые выборки сигнала, которые соответствуют предполагаемым задержкам прихода регистрируемого сигнала, умножаются на гладкую короткую функцию времени (временное окно) с последующим вычислением спектра произведения. Как и при обработке сигнала в аналоговом ЛЧМ-ионозонде, полученный спектр является откликом радиоканала на эффективный узкополосный комплексный сигнал, форма которого, как функция времени, равна форме спектра окна, а несущая частота связана через скорость девиации частоты с положением окна на временной развертке сигнала.

ЧИСЛЕННОЕ МОДЕЛИРОВАНИЕ

Рассмотрим численную схему моделирования характеристик КВ-радиоканала на примере зондирующего импульсного сигнала. Запишем выражение для регистрируемого сигнала на входе приемника в виде

$$u_a(\vec{r}, t) = w(\vec{r}, t) e^{iW(\vec{r}, t)} = \text{Re} \sum_{n=\eta_1}^{n=\eta_2} \left[a_n(\vec{r}, \omega_0) g_0(t - \tau_n(\theta)) e^{i\Psi_n(\theta, \omega_0)} \right] \times e^{-i\omega_0 t}.$$

Пределы суммирования в (52) выбираются из условий эффективного возбуждения нормальных волн (n_1) и отражения от ионосферы (n_m) и рассчитываются с использованием уравнения на спектр нормальных волн (32). Границы вещественной части собственного значения радиальной задачи ξ_1 и ξ_{\min} , соответствующие пределам суммирования n_1 и n_m , определяются из выражения (25) из условия существования волновода Земля—ионосфера: $\operatorname{Re} Q(z, \xi_n + i\chi_n) > 0$. Учет мнимой части диэлектрической проницаемости ионосферы и мнимой части собственного значения χ_n в коэффициенте радиальной задачи $Q(z, \xi_n + i\chi_n)$ позволил расширить частотный диапазон моделирования характеристик сигналов для анализа протяженных неоднородных КВ-радиотрасс. Частота излучения может быть меньше критической частоты слоя F2 вдоль трассы распространения, так как решение уравнения (25) с учетом мнимой части v_n спектрального параметра существует.

Поле отдельной нормальной волны распределено по всему сечению волновода и зависит от его глобальных характеристик, тогда как суммарное поле локализовано вблизи траектории луча, где выполнено условие сфазированности отдельных групп волн (условие стационарности [Потехин, Орлов, 1981]). Для приземного приемника условие стационарности имеет вид

$$\Delta\Psi_n(\theta, f) = \frac{1}{2\pi}(\Psi_n - \Psi_{n+1}) = l, \quad (53)$$

где l — целое число, $f = \omega_0 / (2\pi)$. Угол выхода траектории ϕ_1 из точки излучения y_b связан со спектральным параметром центральной волны группы сфазированных волн с номером n , соотношением $\cos \phi_1 = \gamma_n(0) / y_b$. Тогда l — число отражений траектории сигнала от ионосферы.

Выражения (52) и (53) служат формульной основой схемы расчета распределения поля декаметрового сигнала в волноводе Земля—ионосфера по методу нормальных волн. На первом этапе рассчитываются характеристики нормальных волн a_n , Ψ_n , τ_n , $\Delta\Psi_n$ в опорных точках спектра. Спектр нормальных волн $\tilde{\gamma}_n^2 = \xi_n + i\chi_n$ находится из решения трансцендентного уравнения (32) и уравнения (33). Вещественная γ_n и мнимая v_n части спектрального параметра $\tilde{\gamma}_n$ определяются из уравнений $\xi_n = \gamma_n^2 - v_n^2$, $\chi_n = 2\gamma_n v_n$. В качестве входных данных используются профили электронной концентрации $N(y)$ и эффективной частоты соударений $\nu_{\text{eff}}(y)$, рассчитанные по модели ионосферы, и параметры подстилающей среды из глобальной модели электрических свойств земной поверхности [Пономарчук, 1984]. Определяются группы нормальных волн, формирующие поле сигнала в точке приема для волноводных каналов E, F1 и F2. На втором этапе решение уравнения (53) относительно номера n позволяет для каждого из волноводных каналов E, F1 и F2 определить модовую структуру сигнала (количество сигналов и их идентификацию)

и рассчитать временные и угловые характеристики сигналов для модов распространения.

Максимумы в зависимости $\Delta\Psi_n(\theta, f)$ от номера n определяют максимальные применимые частоты (МПЧ) модов распространения и границы мертвой зоны вдоль земной поверхности для каждого из волноводных каналов E, F1 и F2. Решение уравнения

$$\max_{n \in [n_1, n_m]} \Delta\Psi_n(\theta, f) = l \quad (54)$$

относительно f для фиксированного θ определяет МПЧ мода кратности l . Решение уравнения (54) относительно θ для фиксированной частоты f определяет дальность до границы мертвой зоны l -го скачка.

На рис. 3 в качестве иллюстрации приведены ионограмма наклонного зондирования на трассе Кипр—Иркутск, полученная 1 января 2023 г. в 04:45 UT, и результаты моделирования дистанционно-частотных характеристик сигналов. Расчеты проведены с использованием модели IRI-2016 [Bilitza et al., 2017]. Трасса Кипр—Иркутск протяженностью 5690 км проходит в средних широтах; условия распространения соответствовали спокойным гелиогеофизическим условиям. Входными данными в алгоритме расчета характеристик сигналов служили профили электронной концентрации и частоты соударений электронов с нейтралами, рассчитанные со скважностью ~ 200 км вдоль трассы распространения. Расчет дистанционных характеристик сигналов наклонного зондирования (НЗ) проводился на основе решения уравнения стационарности (53) относительно центральных номеров n_i групп сфазированных нормальных волн, вносящих основной вклад в значение поля в точке приема. Номер n_i связан с углом прихода траектории ϕ_2 в точку приема соотношением $\cos \phi_2 = \gamma_{n_i}(\theta) / y$. Для заданных частоты зондирования f и дальности D для каждого из каналов E, F1 и F2 существуют два решения уравнения (53), соответствующие различным углам прихода траектории распространения пакета сфазированных нормальных волн — нижнему и верхнему лучам. Групповой путь распространения сигнала равен $c\tau_{n_i}(\theta)$. С ростом частоты траектории распространения сближаются и пересекаются при значении МПЧ мода распространения, которую можно определить из решения уравнения (54). На рис. 3 показаны результаты расчетов только для модов распространения 2E, 2F2, 3F2, 4F2, и 5F2. Для выбранного момента времени вариации прогнозной критической частоты слоя F2 вдоль трассы распространения Кипр—Иркутск составляли 5.5–9.1 МГц, поэтому без рассматриваемой модификации волноводного метода моделирование в нижней части диапазона ниже 8 МГц было бы невозможно.

На рис. 4 в качестве иллюстрации приведены точные вариации расчетных МПЧ и экспериментальных максимальных наблюдаемых частот (МНЧ) на трассе Магадан—Иркутск для 16 января 2010 г.

Результаты расчета МПЧ для модов распространения 1F2 и 2F2 нанесены сплошными линиями 1 и 2 соответственно. Экспериментальные значения МНЧ

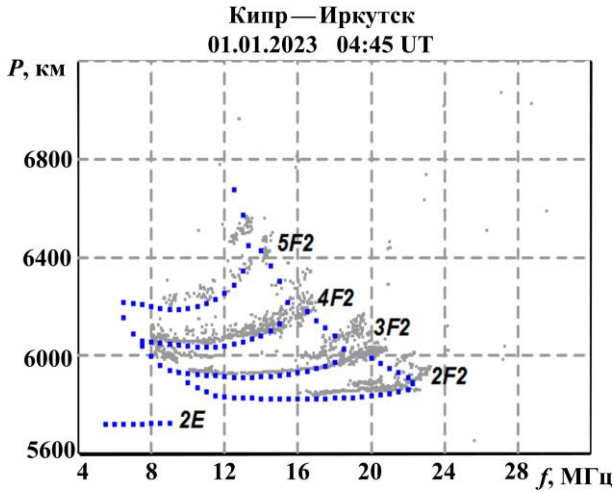


Рис. 3. Ионограмма НЗ и результаты моделирования дистанционно-частотных характеристик сигналов НЗ 1 января 2023 г. в 04:45 UT. Серые точки — ионограмма НЗ, синие — результаты моделирования

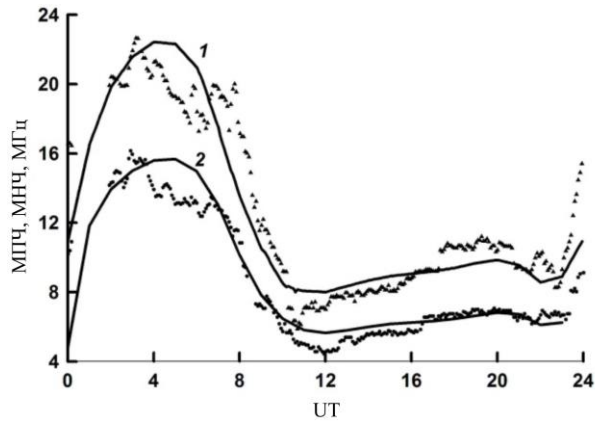


Рис. 4. Суточные вариации расчетных МПЧ (сплошные линии) и экспериментальных МНЧ (треугольники и кружки) для трассы Магадан — Иркутск 16 января 2010 г., 1 — мод 1F2, 2 — мод 2F2

показаны треугольниками и кружками. Расчет МПЧ в волноводном канале F2 проводился на основе решения уравнения (54) относительно f для фиксированных координат точки приема.

Амплитудные характеристики сигналов вычисляются с использованием (52) по схеме, изложенной в [Куркин и др., 1986]. Огибающая $w(\vec{r}, t)$ регистрируемого сигнала рассчитывается на основе прямого численного суммирования выражений вида

$$w(\vec{r}, t) = \left[\left(\sum_{n=n_1}^{n=n_m} a_n g_0(t - \tau_n) \cos \Psi_n \right)^2 + \left(\sum_{n=n_1}^{n=n_m} a_n g_0(t - \tau_n) \sin \Psi_n \right)^2 \right]^{1/2}. \quad (55)$$

Расчет $w(\vec{r}, t)$ позволяет исследовать форму принимаемого сигнала как для разделенных, так и для перекрывающихся во времени импульсов, т. е. как в освещенной зоне, так и в области каустики, где сливаются верхний и нижний лучи. Значение огибающей сигнала в центре импульса отдельного сиг-

нала, соответствующего задержке $\tau_n + T/2$, можно принять за амплитуду сигнала. Отметим, что расчет амплитудных характеристик сигналов проводится для заданных приемно-передающих антенно-фидерных устройств с учетом типа модуляции излученного сигнала.

На рис. 5 и 6 в качестве иллюстрации приведены результаты расчета дальностно-временного распределения огибающей поля импульсного сигнала в окрестности границы освещенной зоны D_0 для частоты 10 МГц для средневлажной земли и морской поверхности соответственно. Излучатель — точечный вертикальный диполь. Мощность излучения составляет 1 кВт, общая длительность излученного импульса — 140 мкс, дальность отсчитывается относительно границы $D_0 = 1108.25$ км. Амплитуда сигнала осциллирует как по времени, так и по мере удаления от D_0 в освещенную зону. В области тени для $D < D_0$ огибающая сигнала характеризуется наличием двух максимумов малой амплитуды. Эти сигналы аналогичны краевым лучам пространственно-временной теории дифракции импульсов. При продвижении в освещенную область амплитуда сигнала возрастает почти по экспоненциальному закону [Куркин и др., 1982; Bremner, 1949], при этом максимум в профиле амплитуды сдвинут по дальности относительно границы D_0 в сторону освещенной зоны. На расстоянии от границы D_0 порядка 8–10 км (см. рис. 6) сигнал начинает разделяться на два близких по форме сигнала, которые на некотором расстоянии (в зависимости от длительности импульса) полностью разделяются.

На рис. 7 показана зависимость средней амплитуды сигнала от дальности в окрестности $D_0 = 1108.25$ км. Чтобы выявить динамику средней амплитуды сигнала, длительность импульса была выбрана равной 440 мкс. Амплитуда сигнала осциллирует за счет интерференции нижнего и верхнего лучей. При увеличении частоты зондирования период осцилляции средней амплитуды увеличивается. Соответственно возрастает расстояние от границы мертвой зоны D_0 , на которой сигнал разделяется на два сигнала, соответствующих нижнему и верхнему лучам. Размеры области интерференции импульсных сигналов с длительностью 440 мкс занимают по дальности ~17 км для частоты 10 МГц и ~25 км — для частоты 12 МГц. Более детально динамика амплитуды сигнала вблизи границы освещенной зоны на основе анализа когерентных свойств ряда нормальных волн приведена в работе [Куркин и др., 1982].

Разработанные алгоритмы моделирования пространственно-временной структуры падающего поля сигналов являются основой схемы расчета характеристик сигналов, рассеянных шероховатостями земной поверхности, при возвратно-наклонном зондировании (ВНЗ) ионосферы [Пономарчук и др., 2021].

На рис. 8 в качестве иллюстрации показаны результаты моделирования огибающих однокачковых сигналов ВНЗ 08.11.2020, 01:00 UT. Пункт излучения — Усолье-Сибирское (52.8° N, 103.3° E), приема — с. Торы, Республика Бурятия (51.8° N, 103° E). Азимут зондирования — 55°. Входными параметрами

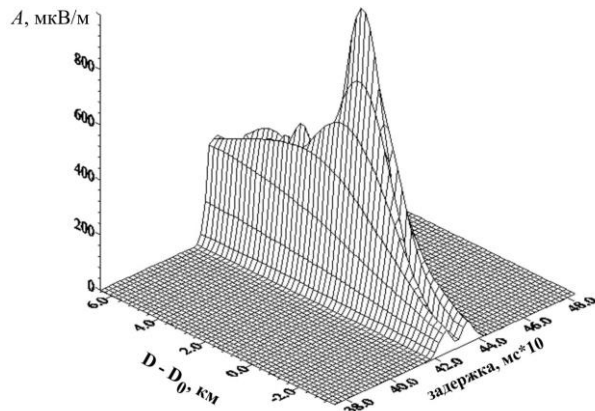


Рис. 5. Дальностно-временное распределение огибающей сигнала вблизи границы освещенной зоны для средневлажной земли

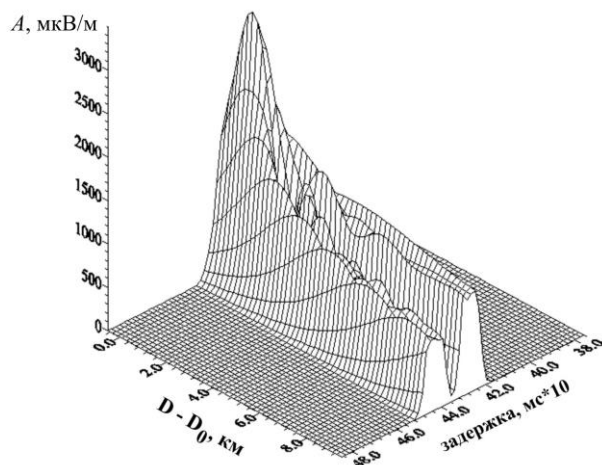


Рис. 6. Дальностно-временное распределение огибающей сигнала вблизи границы освещенной зоны для морской поверхности

алгоритма являются профили электронной концентрации и эффективной частоты соударений, рассчитываемые по модели ионосферы IRI-2016, электрические параметры и коэффициенты рассеяния земной поверхностью [Пономарчук, 1984; Исимару, 1981; Чернов, 1971]. В рамках волноводного подхода моделирование характеристик сигналов ВНЗ проводится на основе приближения некогерентного рассеяния, в котором характеристики рассеянного поля выражаются через характеристики падающего поля (угол падения, амплитуду) и локальную диаграмму рассеяния или коэффициент рассеяния. Амплитудные характеристики сигналов ВНЗ, включая временную развертку сигнала, рассчитываются на основе сборки всех лучей с площади засветки в каждый выбранный момент времени. Предполагается, что поле сигнала ВНЗ формируется рассеянными сигналами, пришедшими в точку приема по тем же возможным траекториям, по которым распространяются зондирующие сигналы. Амплитуды отдельных сигналов, пришедших в данный момент времени в точку приема, суммируются некогерентно. Моделирование амплитудных характеристик сигналов ВНЗ проводится для заданных приемо-передающих антенно-фидерных устройств. Сигнал ВНЗ на синтезированной ионограмме, показанный на рис. 8, формируется

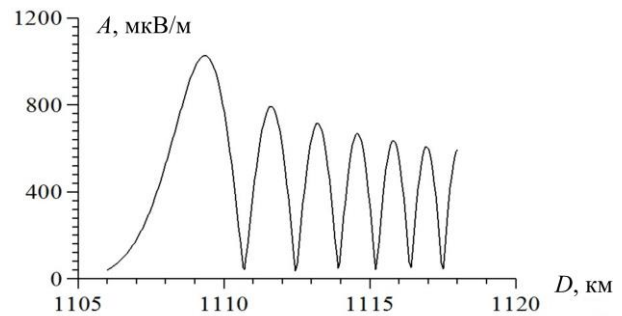


Рис. 7. Зависимость амплитуды сигнала от дальности в окрестности границы освещенной зоны

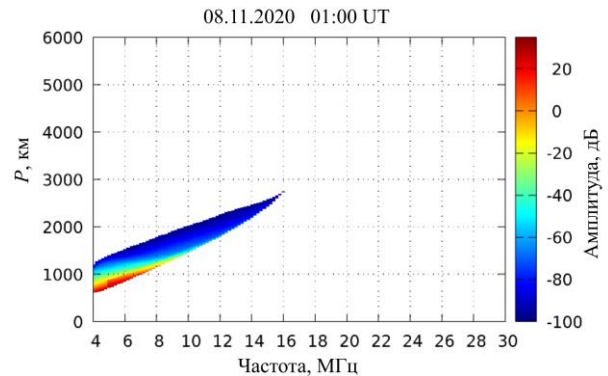


Рис. 8. Результаты моделирования огибающих сигналов ВНЗ 08.11.2020, 01:00 UT

рассеянными сигналами, приходящими в точку приема по односкачковым траекториям путем отражения от F2-слоя ионосферы.

Характерной особенностью ионограмм ВНЗ является наличие ярко выраженного переднего фронта — минимального группового пути прихода рассеянных сигналов от границы освещенной зоны. На основе решения уравнений (53) и (54) разработаны оперативные алгоритмы расчета минимального группового пути распространения и дальности до границы освещенной зоны, которые используются в схеме выделения переднего фронта сигналов на ионограммах ВНЗ [Пономарчук и др., 2021].

ЗАКЛЮЧЕНИЕ

В рамках волноводного подхода представлена комплексная модель КВ-радиоканала, включающая передающее и приемное устройства, ионосферный радиоканал и программный комплекс расчета характеристик радиосигналов. Получено представление передаточной функции радиоканала в виде ряда произведений функций Грина углового оператора, коэффициентов возбуждения, коэффициентов приема отдельных нормальных волн для ТМ- и ТЕ-полей. В рамках метода нормальных волн модифицирована схема решения радиальной задачи и построения спектра радиального оператора с учетом поглощения поля сигнала в ионосфере и в земной поверхности. Это позволяет проводить моделирование КВ-радиоканала в частотном диапазоне, включающем значения ниже критической частоты F2-слоя ионосферы. На основе анализа и численного суммирования ряда нормальных волн разработаны алгоритмы и программы расчета дистанционно-частотных,

частотно-угловых и амплитудных характеристик сигналов, включая развертку сигнала. В качестве входных данных задаются профили электронной концентрации, эффективная частота соударений, электрические параметры подстилающей среды вдоль радиотрассы и параметры антенно-фидерных устройств.

Работа выполнена при финансовой поддержке Минобрнауки (субсидия № 075-ГЗ/Ц3569/278). Экспериментальные данные получены с использованием оборудования Центра коллективного пользования «Ангара» [<http://ckp-rf.ru/ckp/3056/>].

СПИСОК ЛИТЕРАТУРЫ

Авдеев В.Б., Демин А.В., Кравцов Ю.А. и др. Метод интерференционных интегралов (Обзор). *Изв. вузов. Радиофизика*. 1988. Т. 31, № 11. С. 1279–1294.

Айзенберг Г.З., Белоусов С.П., Журбенко Э.М. *Коротковолновые антенны*. М.: Радио и связь, 1985. 536 с.

Алтынцева В.И., Ильин Н.В., Куркин В.И. и др. Моделирование декаметрового радиоканала на основе метода нормальных волн. *Техника средств связи. Серия СС*. 1987. Вып. 5. С. 28–34.

Алувэлья Д.С., Келлер Д.Б. Точные и асимптотические представления звукового поля в стратифицированном океане. *Распространение волн и подводная акустика*. М.: Мир, 1980. С. 20–75.

Барабашов Б.Г., Вертоградов Г.Г. Динамическая адаптивная структурно-физическая модель ионосферного радиоканала. *Математическое моделирование*. 1996. Т. 8, № 2. С. 3–18.

Гинзбург В.Л. *Распространение электромагнитных волн в плазме*. М.: Наука, 1967. 683 с.

Гуревич А.В., Цедилина Е.Е. *Сверхдальнее распространение коротких радиоволн*. М.: Наука, 1979. 246 с.

Иванов В.А., Куркин В.И., Носов В.Е. и др. ЛЧМ-ионозонд и его применение в ионосферных исследованиях. *Изв. вузов. Радиофизика*. 2003. Т. 46, № 11. С. 919–952.

Ипатов Е.Б., Лукин Д.С., Палкин Е.А. Численная реализация метода канонического оператора Маслова в задачах распространения коротких радиоволн в ионосфере Земли. *Изв. вузов. Радиофизика*. 1990. Т. 33, № 5. С. 562–573.

Ипатов Е.Б., Крюковский А.С., Лукин Д.С. и др. Методы моделирования распространения электромагнитных волн в ионосфере с учетом распределений электронной концентрации и магнитного поля земли. *Радиотехника и электроника*. 2014. Т. 59, № 12. С. 1180–1187. DOI: [10.7868/S0033849414120079](https://doi.org/10.7868/S0033849414120079).

Исимару А. *Распространение и рассеяние волн в случайно-неоднородных средах*. М.: Мир, 1981. Т. I. 280 с.

Казанцев А.Н., Лукин Д.С., Спиридонов Ю.Г. Метод исследования распространения радиоволн в неоднородной магнитоактивной ионосфере. *Космические исследования*. 1967. Т. 5. Вып. 4. С. 593–600.

Кравцов Ю.А., Орлов Ю.И. *Геометрическая оптика неоднородных сред*. М.: Наука, 1980. 304 с.

Краснушкин П.Е. *Метод нормальных волн в применении к проблеме дальних радиосвязей*. М.: Изд-во МГУ, 1947. 52 с.

Краснушкин П.Е., Яблочкин Н.А. *Теория распространения сверхдлинных волн*. М.: Вычислительный центр АН СССР, 1963. 94 с.

Крюковский А.С., Лукин Д.С., Палкин Е.А., Растягаев Д.В. Волновые катастрофы – фокусировки в дифракции и распространении электромагнитных волн. *Радиотехника и электроника*. 2006. Т. 51, № 10. С. 1155–1192.

Куркин В.И., Хахинов В.В. О возбуждении сферического волновода Земля—ионосфера произвольным рас-

пределением тока. *Исследования по геомагнетизму, аэронауке и физике Солнца*. 1984. Вып. 69. С. 16–22.

Куркин В.И., Орлов И.И., Попов В.Н. *Метод нормальных волн в проблеме коротковолновой радиосвязи*. М.: Наука, 1981. 124 с.

Куркин В.И., Орлов А.И., Орлов И.И. и др. Исследование огибающих импульсного КВ-сигнала в окрестности каустики на основе метода нормальных волн. *Исследования по геомагнетизму, аэронауке и физике Солнца*. 1982. Вып. 60. С. 198–205.

Куркин В.И., Орлов А.И., Орлов И.И. Схема расчета характеристик импульсного декаметрового радиосигнала на основе численного суммирования нормальных волн. *Исследования по геомагнетизму, аэронауке и физике Солнца*. 1986. Вып. 75. С. 159–164.

Леонтович М.А., Фок В.А. Решение задачи о распространении электромагнитных волн вдоль поверхности Земли по методу параболического уравнения. *ЖЭТФ*. 1946. Т. 16, № 7. С. 557–573.

Лукин Д.С., Спиридонов Ю.Г. Применение метода характеристик для численного решения задач распространения радиоволн в неоднородной и нелинейной среде. *Радиотехника и электроника*. 1969. Т. 14, № 9. С. 1673–1677.

Макаров Г.И., Новиков В.В., Рыбачек С.Т. *Распространение радиоволн в волноводном канале Земля — ионосфера и в ионосфере*. М.: Наука, 1993. 148 с.

Подлесный А.В., Брынько И.Г., Куркин В.И. и др. Многофункциональный ЛЧМ-ионозонд для мониторинга ионосферы. *Гелиогеофизические исследования*. 2013. Вып. 4. С. 24–31.

Подлесный А.В., Лебедев В.П., Ильин Н.В., Хахинов В.В. Реализация метода восстановления передаточной функции ионосферного радиоканала по результатам зондирования ионосферы непрерывным ЛЧМ-сигналом. *Электромагнитные волны и электронные системы*. 2014. Т. 19, № 1. Р. 63–70.

Пономарчук С.Н. Модель электрических свойств земной поверхности в КВ-диапазоне. *Исследования по геомагнетизму, аэронауке и физике Солнца*. 1984. Вып. 69. С. 42–47.

Пономарчук С.Н., Ильин Н.В., Пензин М.С. Модель распространения радиоволн в диапазоне частот 1–10 МГц на основе метода нормальных волн. *Солнечно-земная физика*. 2014. Вып. 25. С. 33–39.

Пономарчук С.Н., Грозов В.П., Ильин Н.В. и др. Возвратно-наклонное зондирование ионосферы непрерывным сигналом с линейной частотной модуляцией. *Изв. вузов. Радиофизика*. 2021. Т. 64, № 8-9. С. 665–671. DOI: [10.52452/00213462_2021_64_08_655](https://doi.org/10.52452/00213462_2021_64_08_655).

Попов В.Н., Потехин А.П. О распространении декаметровых радиоволн в азимутально-симметричном волноводе Земля—ионосфера. *Исследования по геомагнетизму, аэронауке и физике Солнца*. 1984. Вып. 69. С. 9–15.

Потехин А.П., Орлов И.И. Приближенная формула суммирования ряда нормальных волн. *Исследования по геомагнетизму, аэронауке и физике Солнца*. 1981. Вып. 57. С. 135–137.

Федорюк М.В. *Асимптотические методы для линейных обыкновенных дифференциальных уравнений*. М.: Наука, 1983. 352 с.

Фок В.А. Проблемы диффракции и распространения электромагнитных волн. *Советское радио*, 1970. 520 с.

Хахинов В.В. Электродинамическая модель приемной антенны в рамках волноводного представления КВ-поля. *Солнечно-земная физика*. 2018. Т. 4, № 3. С. 114–118. DOI: [10.12737/szf-43201812](https://doi.org/10.12737/szf-43201812).

Хединг Д. *Введение в метод фазовых интегралов (метод ВКБ)*. М.: Мир, 1965. 240 с.

Черкашин Ю.Н. Применение метода параболического уравнения для расчета волновых полей в неоднородных

средах. *Радиотехника и электроника*. 1971. Т. 16, № 1. С. 173–174.

Чернов Ю.А. *Возвратно-наклонное зондирование ионосферы*. М: Связь, 1971. 204 с.

Anderson S. Cognitive HF radar. *J. Eng.* 2019. Vol. 2019, iss. 20. P. 6772–6776. DOI: [10.1049/joe.2019.0537](https://doi.org/10.1049/joe.2019.0537).

Ayliffe J.K., Durbridge L.J., Frazer J.F., et al. The DST Group High-Fidelity, Multichannel Oblique Incidence Ionosonde. *Radio Sci.* 2019. Vol. 54, no. 1. P. 104–114. DOI: [10.1029/2018RS006681](https://doi.org/10.1029/2018RS006681).

Baranov V.A., Popov A.V. Generalization of the parabolic equation for EM waves in a dielectric layer of nonuniform thickness. *Wave Motion*. 1993. Vol. 17, no. 4. P. 337–347. DOI: [10.1016/0165-2125\(93\)90013-6](https://doi.org/10.1016/0165-2125(93)90013-6).

Baranov V.A., Karpenko A.L., Popov A.V. Evolution of Gaussian beams in the nonuniform Earth-ionosphere waveguide. *Radio Sci.* 1992. Vol. 27, no. 2. P. 307–314. DOI: [10.1029/91RS02639](https://doi.org/10.1029/91RS02639).

Bilitza D., Altadill D., Truhlik V., et al. International Reference Ionosphere 2016: From ionospheric climate to real-time weather predictions. *Space Weather*. 2017. Vol. 15, no.2. P. 418–429. DOI: [10.1002/2016SW001593](https://doi.org/10.1002/2016SW001593).

Bremmer H. *Terrestrial Radio Waves. Theory of Propagation*. Amsterdam, 1949. 343 p.

Davydenko M.A., Ilyin N.V., Khakhinov V.V. On the shape of measured spectra of the ionosphere sounding by an FMCW signal under dispersion case. *J. Atmos. Solar-Terr. Phys.* 2002. Vol. 64, no. 17. P. 1897–1902. DOI: [10.1016/S1364-6826\(02\)00196-7](https://doi.org/10.1016/S1364-6826(02)00196-7).

Ivanov D.V., Ivanov V.A., Ovchinnikov V.V., et al. Adaptive wideband equalization for frequency dispersion correction in HF band considering variations in interference characteristics and ionosphere parameters. *ITM Web Conf.* 2019a. Vol. 30, article number 15021. P. 1–6. DOI: [10.1051/itmconf/20193015021](https://doi.org/10.1051/itmconf/20193015021).

Ivanov, V.A., Ivanov D.V., Ryabova N.V., et al. Studying the Parameters of Frequency Dispersion for Radio Links of Different Length Using Software-Defined Radio Based Sounding System. *Radio Sci.* 2019b. Vol. 54, no. 1. P. 34–43. DOI: [10.1029/2018RS006636](https://doi.org/10.1029/2018RS006636).

Kamel A., Felsen L.B. On the ray equivalent of a group of modes. *The Journal of the Acoustical Society of America*. 1982. Vol. 71, no. 6. C. 1445–1452. DOI: [10.1121/1.387841](https://doi.org/10.1121/1.387841).

Khakhinov V.V., Kurkin V.I. Waveguide approach to modeling of the ionosphere radiochannel. *Proc. of the 11-th Inter. conf. on mathematical methods in electromagnetic theory MMET-2006, IEEE: 06EX1428. Kharkiv, Ukraine.* 2006. P. 284–286. DOI: [10.1109/MMET.2006.1689693](https://doi.org/10.1109/MMET.2006.1689693).

Zernov N.N., Gherm V.E., Zaalov N.Yu., Nikitin A.V. The generalization of Rytov's method to the case of inhomogeneous media and HF propagation and scattering in the ionosphere. *Radio Sci.* 1992. Vol. 27, no. 2. P. 235–244. DOI: [10.1029/91rs02920](https://doi.org/10.1029/91rs02920).

URL: <http://ckp-rf.ru/ckp/3056/> (дата обращения 2 июня 2023 г.).

Как цитировать эту статью:

Куркин В.И., Ильин Н.В., Пензин М.С., Пономарчук С.Н., Хахинов В.В. Моделирование КВ-радиоканала на основе волнового подхода. *Солнечно-земная физика*. 2023. Т. 9, № 4. С. 91–103. DOI: [10.12737/szf-94202311](https://doi.org/10.12737/szf-94202311).